

LANCÉ

Servicio Clima Espacial

Reporte Semanal

<http://www.sciesmex.unam.mx>



AEM
AGENCIA ESPACIAL MEXICANA



CENAPRED
CENTRO NACIONAL DE
PREVENCIÓN DE DESASTRES

Reporte semanal: del 24 al 31 de enero de 2020

CONDICIONES DEL SOL

Regiones activas: 0

Hoyos coronales: 2.

Fulguraciones solares: 0.

Eyecciones de masa coronal: 1.

CONDICIONES DEL MEDIO INTERPLANETARIO

Se registró una pequeña región de interacción.

CONDICIONES DE MAGNETÓSFERA

Índice K local: no se registraron variaciones significativas.

Índice Dst: no se registraron variaciones significativas.

CONDICIONES DE LA IONOSFERA

No se registraron variaciones significativas.

Reporte semanal: del 24 al 31 de enero de 2020

PRONÓSTICOS

Viento solar:

Se pronostican las velocidades de viento solar promedio entre 400 y 600 km/s. La densidad del plasma no presentará incrementos significativos. No se pronostica la llegada de ninguna EMC.

Fulguraciones solares:

Baja probabilidad de fulguraciones.

Tormentas geomagnéticas:

Baja probabilidad de perturbaciones geomagnéticas.

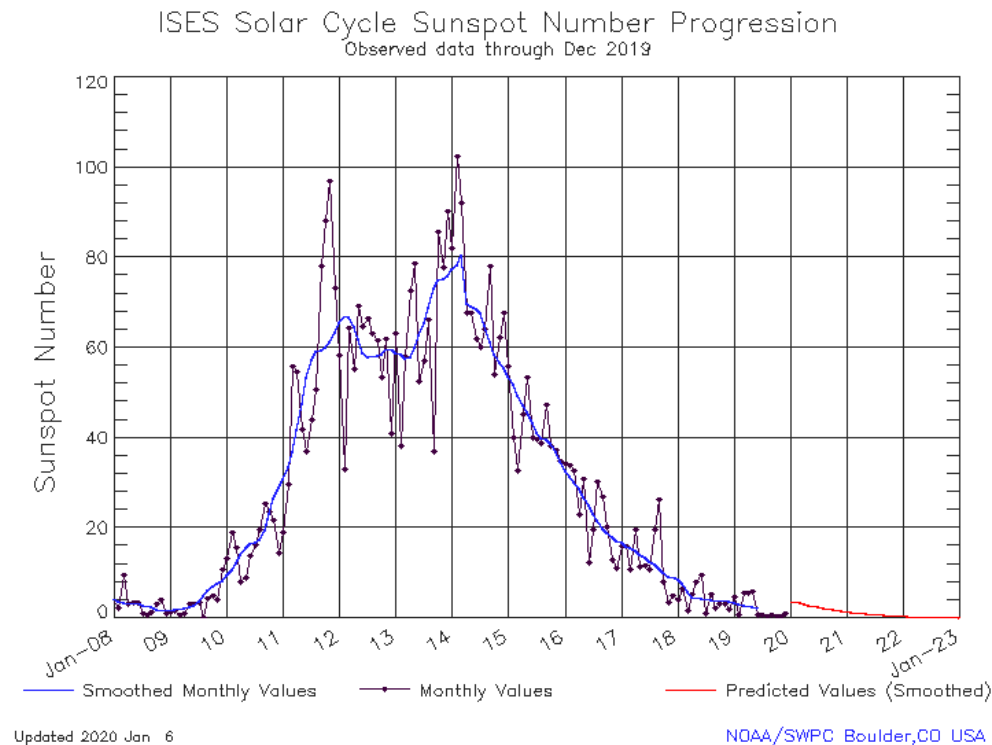
Tormentas ionosféricas:

Baja probabilidad de perturbaciones ionosféricas.

Tormentas de radiación solar:

Baja probabilidad de tormentas.

Ciclo de manchas solares y la actividad solar

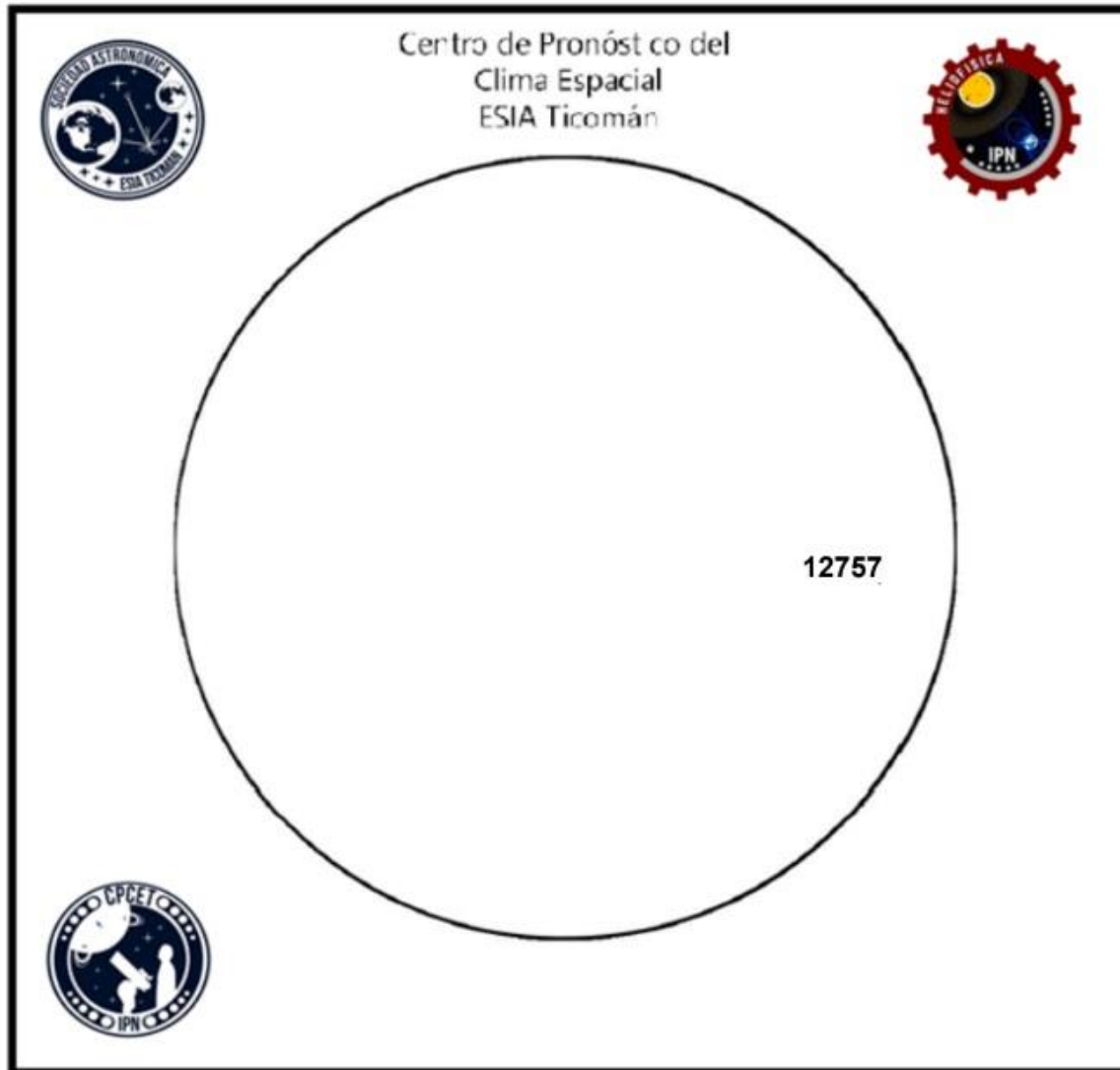


La figura muestra el conteo del número de manchas solares desde enero del 2008.

Entre más manchas solares presente el Sol, es mayor la posibilidad de que ocurra una tormenta solar.

Estamos en el mínimo de manchas solares.

<http://www.swpc.noaa.gov/products/solar-cycle-progression>



El número de Wolf es un valor que permite evaluar numéricamente la actividad solar mediante el conteo de manchas solares ubicadas sobre la superficie del Sol. Este se calcula a partir de la fórmula desarrollada por Rudolf Wolf en 1849:

$$W=k(10*G+F)$$

Donde:

K= Es un factor de corrección que depende de cada observatorio.

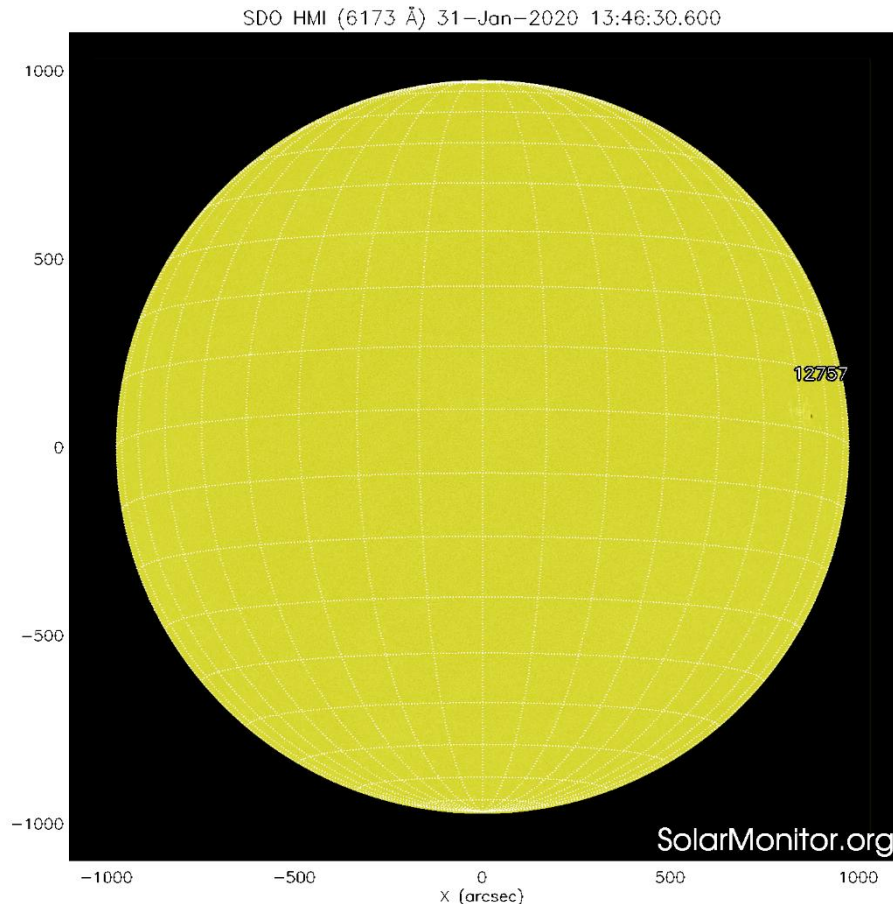
F= Cantidad total de manchas solares visibles sobre el disco solar.

G= Cantidad de grupos manchas solares visibles sobre el disco solar.

Número de Wolf máximo esta semana : 23

Actividad solar: Moderada

Durante esta semana se observó un pequeño grupo de manchas solares denominado con el número 12757. Este ha disminuido en tamaño con el paso de los días. Su última posición registrada fue N04W51, cerca del limbo solar.



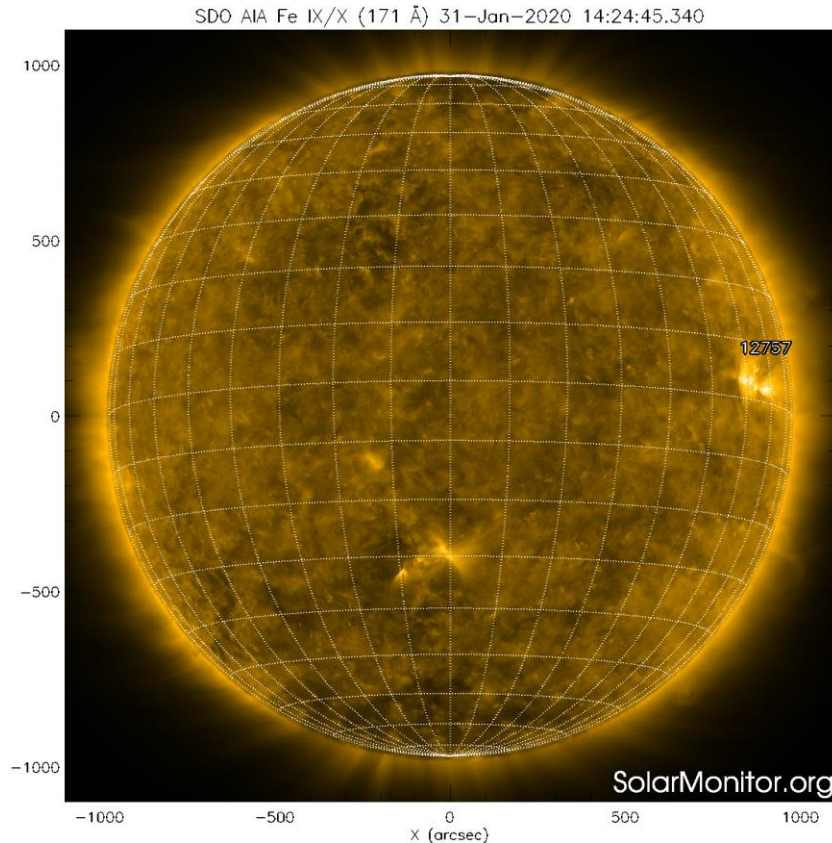
La fotosfera es la zona “superficial” del Sol, donde aparecen las manchas solares. Regiones oscuras formadas por material más frío que sus alrededores y que contienen intensos campos magnéticos. Las manchas solares están relacionadas con la actividad solar.

El Sol hoy:

La imagen más reciente de la fotosfera, tomada por el satélite artificial SDO, muestra un grupo de manchas solares.

<https://solarmonitor.org>

Atmósfera solar y regiones activas



El Sol en rayos X suaves (171 Å). La emisión de Fe IX y X revela la estructura magnética en la región de la atmósfera solar llamada corona solar que se encuentra a 630,000 K.

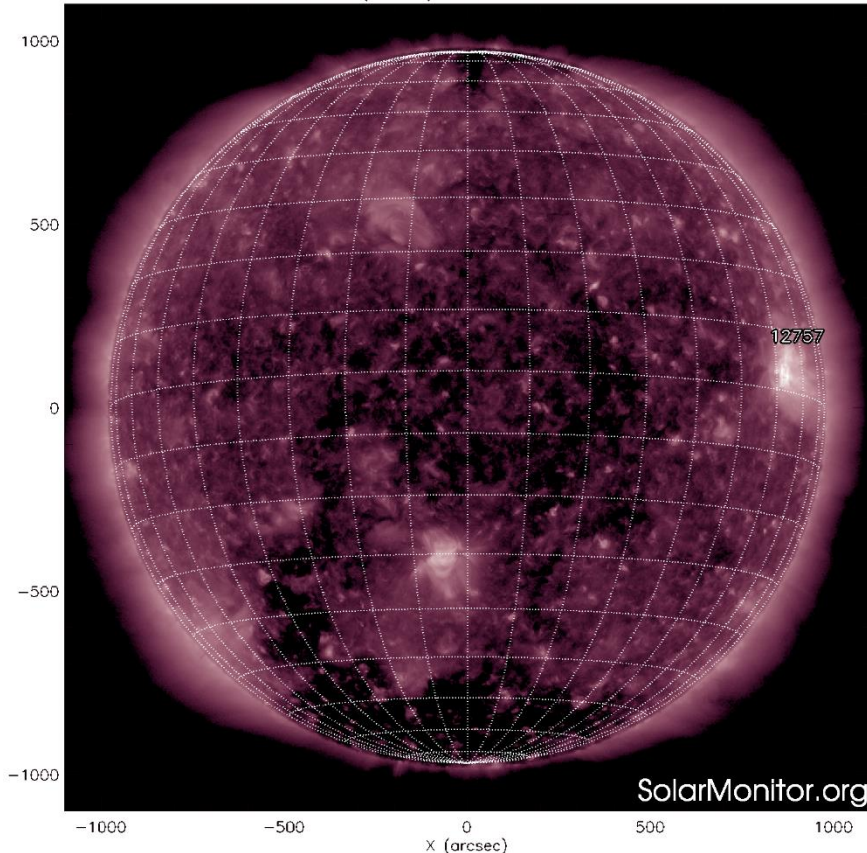
Las regiones activas (zonas claras) son los lugares donde se presentan los fenómenos de actividad solar más importantes. Las regiones activas están regularmente asociadas a las manchas solares.

El Sol hoy:

Imagen más reciente, tomada por el satélite artificial SDO, muestra un grupo de manchas solares.

<https://solarmonitor.org>

SDO AIA Fe XII (211 Å) 31-Jan-2020 14:24:21.620



El Sol en rayos X suaves (211 Å). La emisión de Fe XIV revela la estructura magnética en la alta corona que se encuentra a 2,000,000 K.

Los hoyos coronales (regiones oscuras) son regiones de campo magnético solar localmente abierto. Los hoyos coronales son fuente de las corrientes de viento solar rápido.

El Sol hoy:

Imagen más reciente, tomada por el satélite artificial SDO, muestra dos hoyos coronales interconectados: uno cerca del polo sur y otro en la zona ecuatorial.

<https://solarmonitor.org>

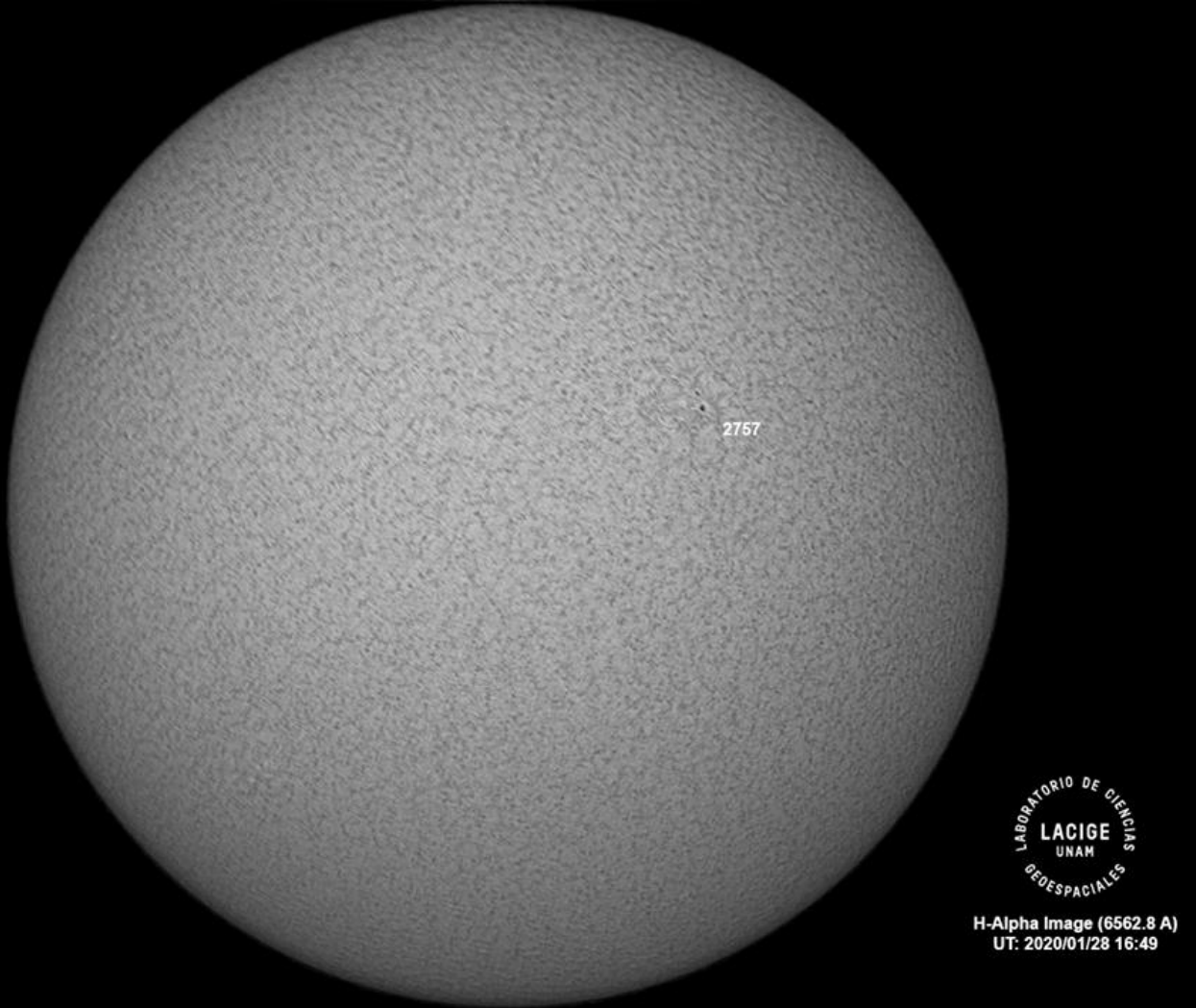


Imagen de la cromosfera solar en H-Alpha (6562.8 \AA) para el día 28/01/2020, 16:49 hrs TU.

La imagen muestra la región activa 2757 observada para esta fecha.

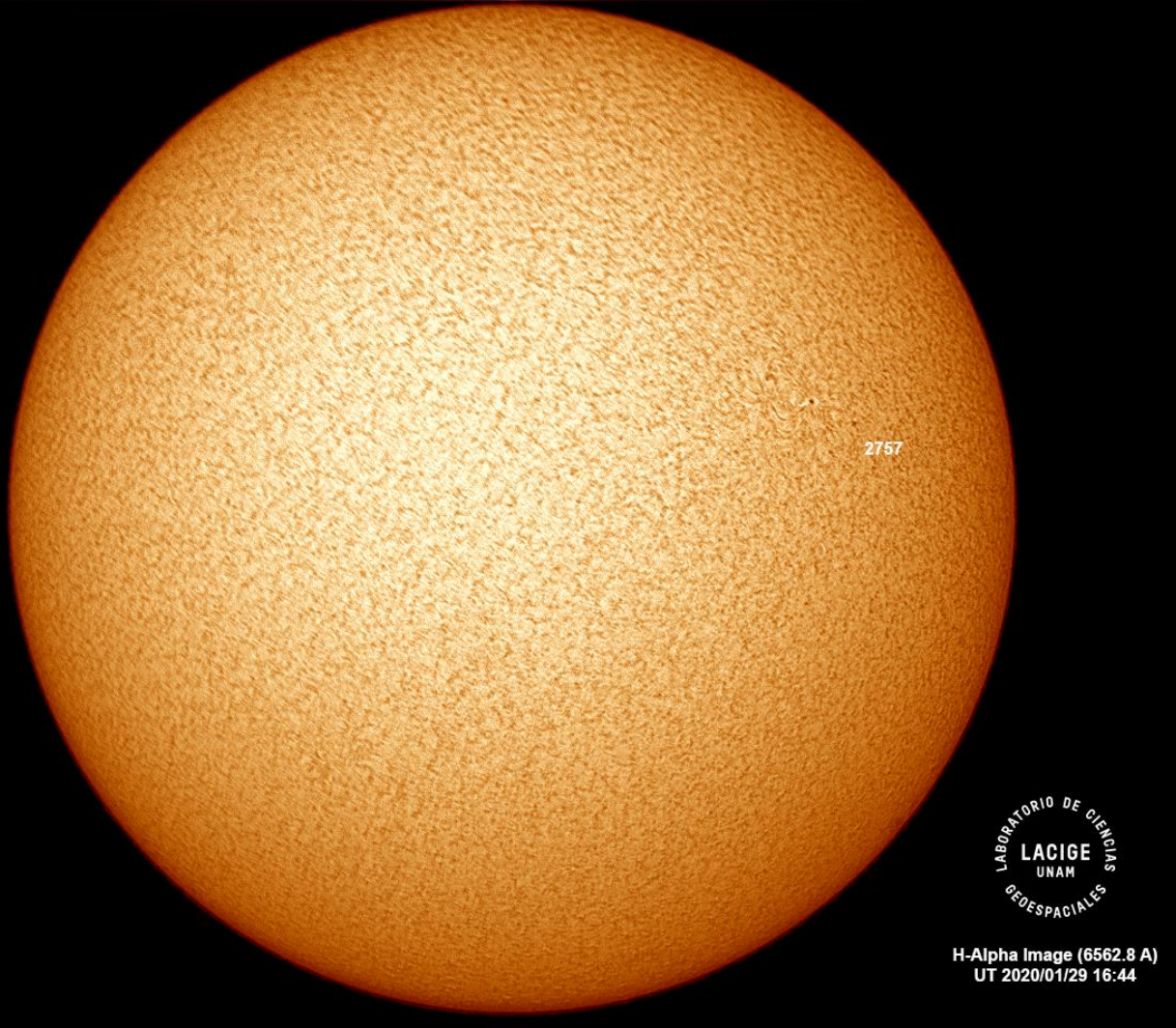


Imagen de la cromosfera solar en H-Alpha (6562.8 \AA) para el día 29/01/2020, 16:44 hrs TU.

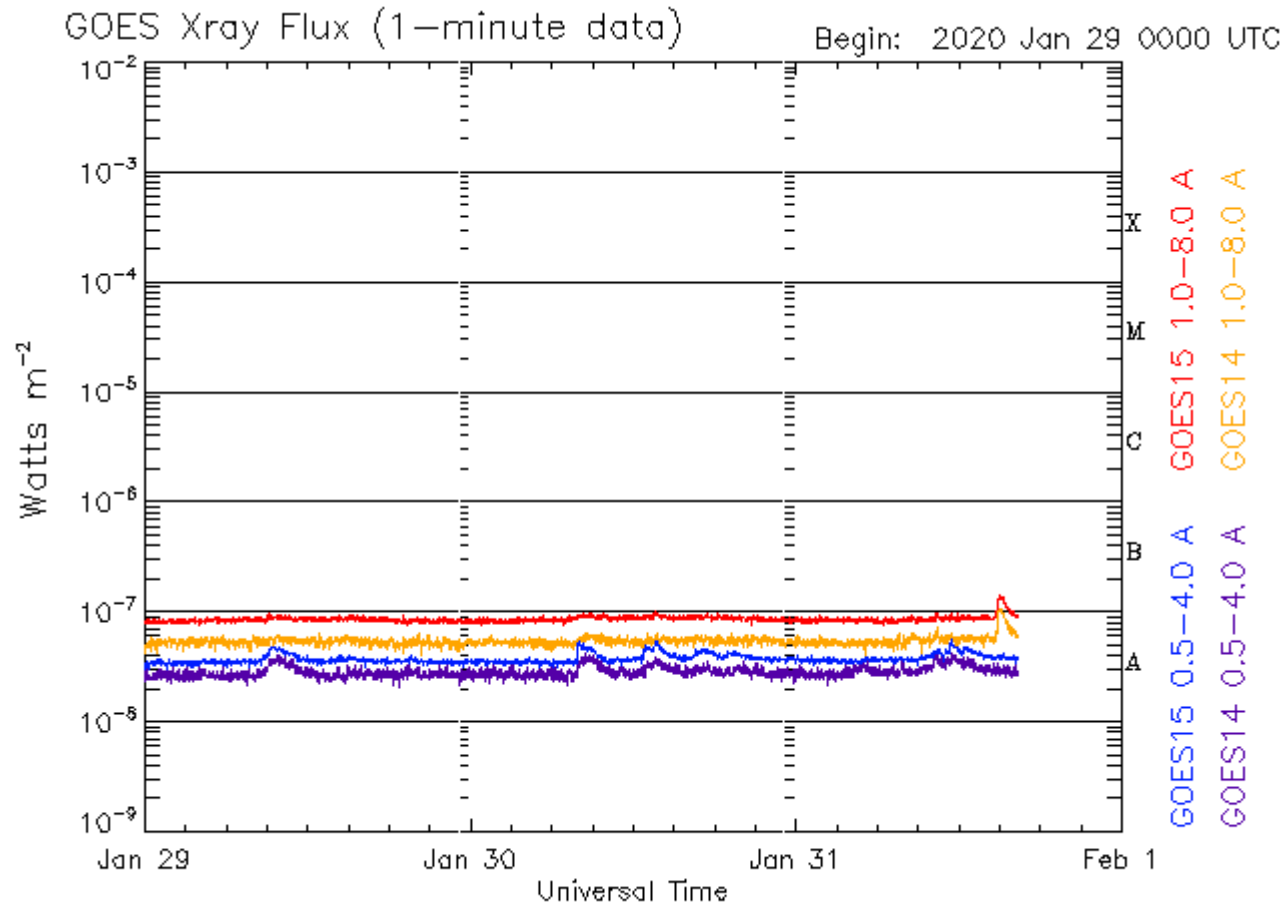
La imagen muestra la región activa 2757 observada para esta fecha cerca del lado oeste del disco solar.



Imagen de la cromosfera solar en H-Alpha (6562.8 Å) para el día 29/01/2020, 16:47 hrs TU.

La imagen muestra un acercamiento a la región activa 2757 observada para esta fecha cerca del lado oeste del disco solar.

Actividad solar: Fulguraciones solares



Updated 2020 Jan 31 16:20:11 UTC

NOAA/SWPC Boulder, CO USA

Flujo de rayos X solares detectado por los satélites GOES.

La imagen muestra los datos tomados por el satélite GOES durante los últimos días.

No se presentaron fulguraciones solares significativas durante la semana.

Imagen: <http://services.swpc.noaa.gov/images/goes-xray-flux.gif>

Medio interplanetario: El viento solar cercano a la Tierra

Modelo numérico WSA-ENLIL.

El modelo pronostica un ambiente solar terrestre dominado por corrientes con velocidades de viento solar promedio entre 400 y 600 km/s. La densidad del plasma no presentará incrementos significativos. No se pronostica la llegada de ninguna EMC.

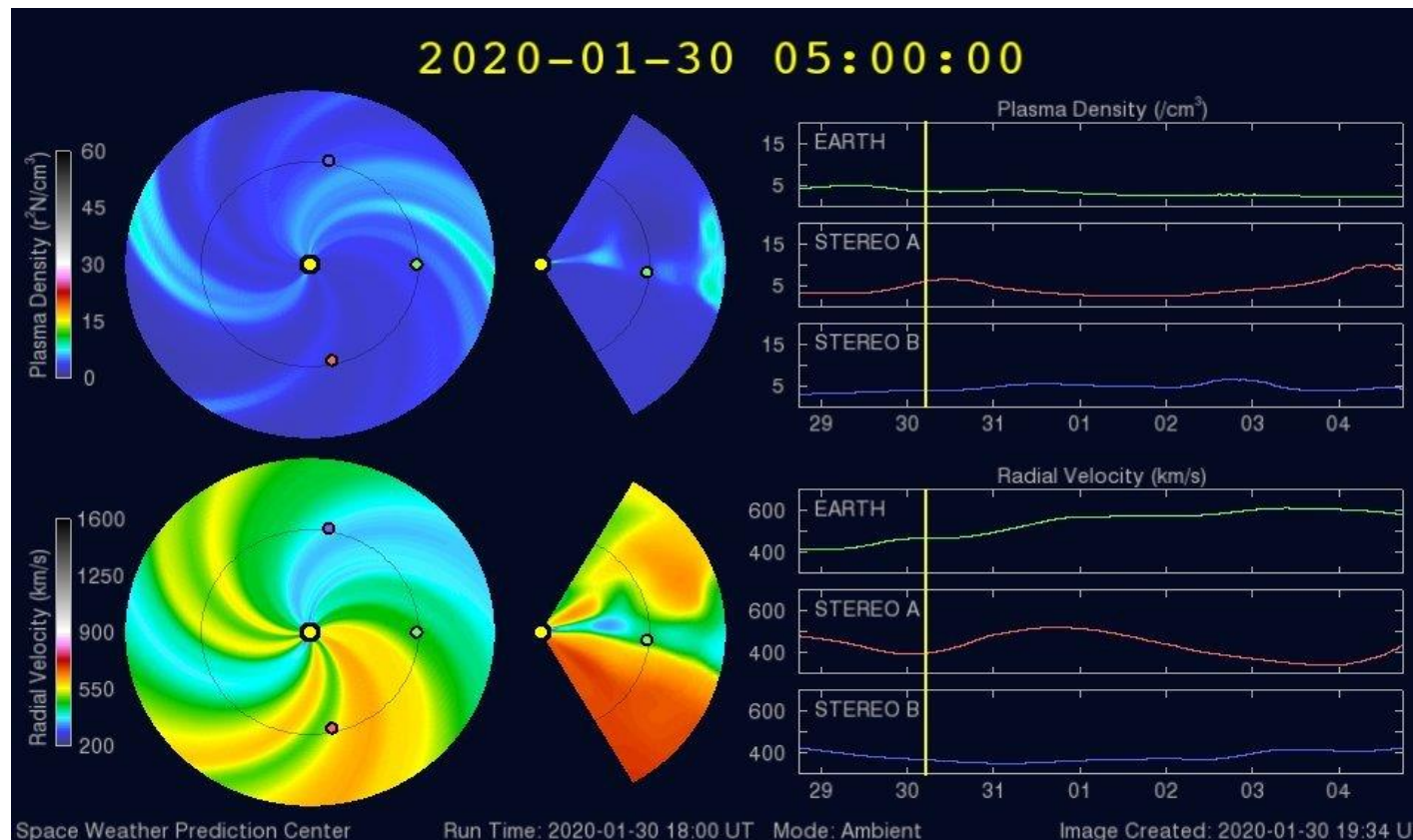
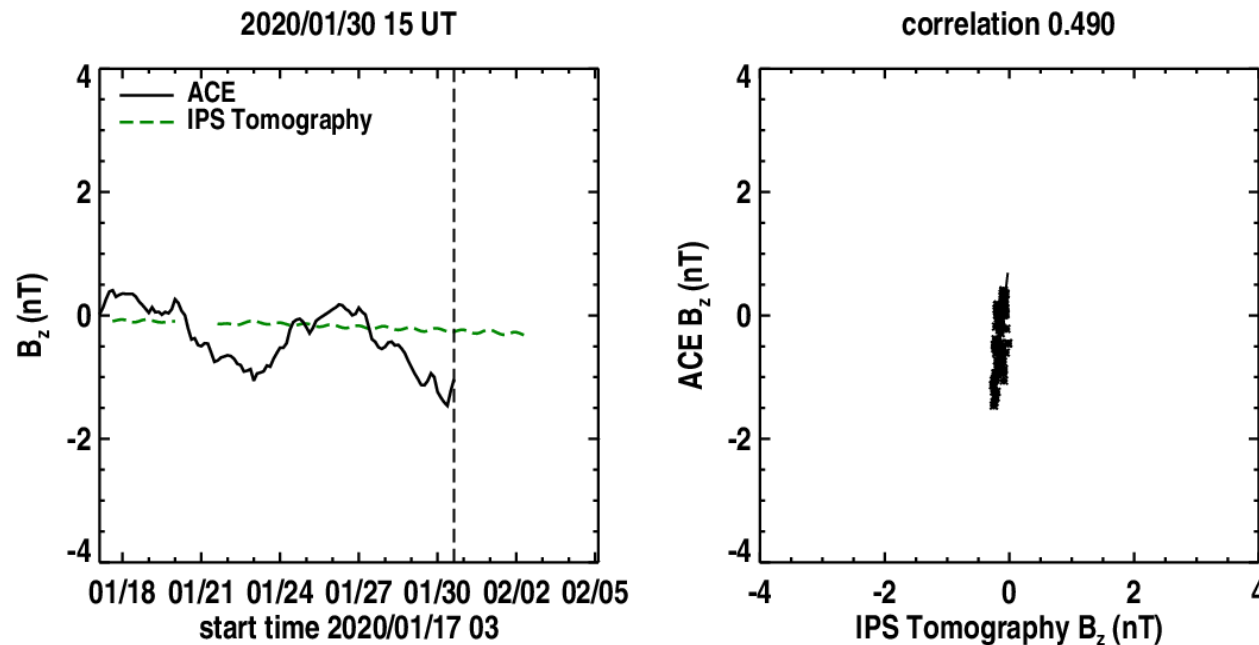


Imagen: <http://www.swpc.noaa.gov/products/wsa-enlil-solar-wind-prediction>

Medio interplanetario: Pronóstico de B_z en L1

Pronóstico de la componente B_z del viento solar cercano a la Tierra usando la tomografía con datos IPS.



(Izquierda) Se pronostica una componente B_z tendiendo a cero . **(Derecha)** La comparación con las observaciones del Advanced Composition Explorer (ACE) indican una correlación de 0.490 en el último pronóstico.

Imagen: http://ips.ucsd.edu/high_resolution_predictions

Eyecciones de Masa Coronal (EMCs): **LANC**

observación de coronógrafos

Servicio Clima Espacial

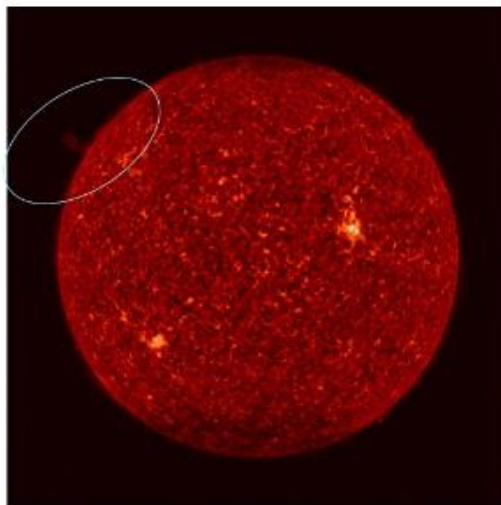
>> Enero 29, 9:24 h

- EMC observada por SOHO/LASCO C2 y C3.
- Eyección lenta de tipo cuerda magnética que se extiende sobre el limbo solar este.
- No se esperan consecuencias severas en el entorno geomagnético.

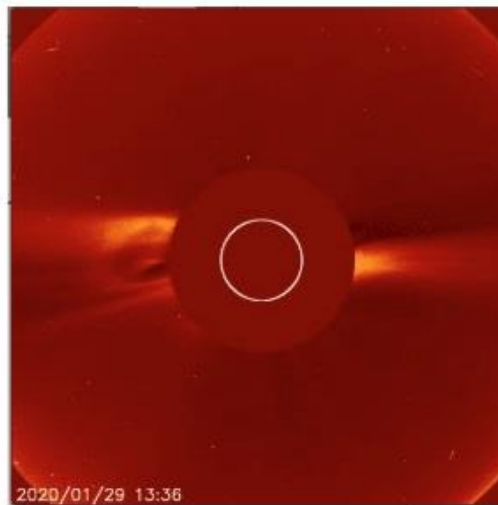
Velocidad	160 km/s
Posición angular	81°
Ancho angular	36°

(*Valores estimados sobre la proyección en el plano del cielo y no en la dirección Sol-Tierra)

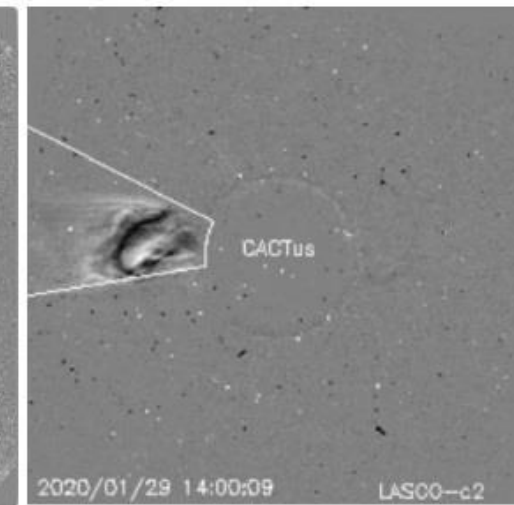
SDO AIA 304 A



LASCO C2



LASCO C2
Diferencia de imágenes



Crédito imágenes y valores estimados:

SOHO, the Solar & Heliospheric Observatory

SDO, Solar Dynamic Observatory

CACTus CME catalog. SIDC at the Royal Observatory of Belgium

Helioviewer, ESA/NASA Helioviewer Project

Medio interplanetario: Región de interacción de viento solar

Del 24 al 30 de enero se registró una pequeña región de interacción (ver imagen 2). El origen del viento solar rápido es un hoyo coronal de polaridad negativa localizado en latitudes bajas en el disco solar (ver imagen 1). Dicha región no generó actividad geomagnética.

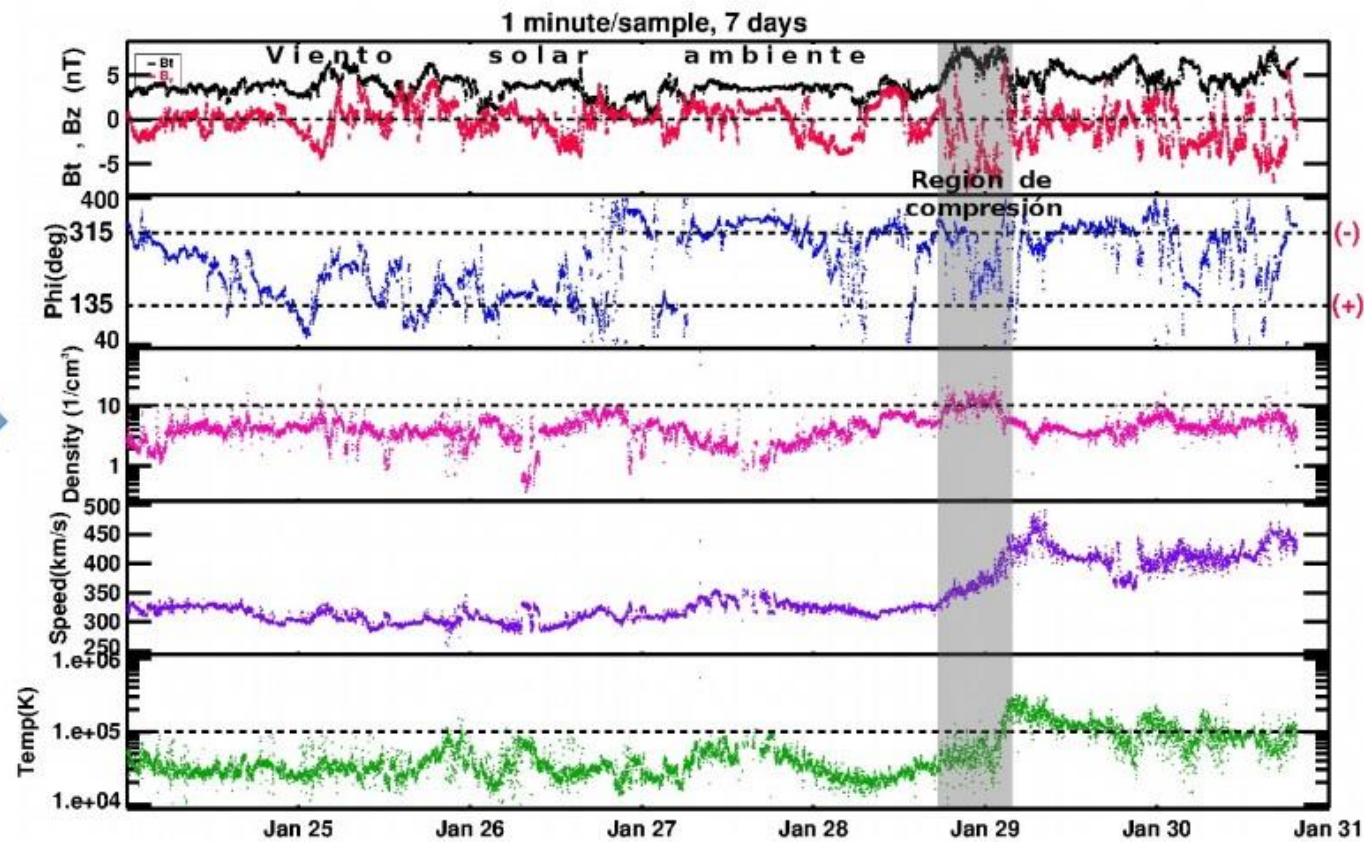
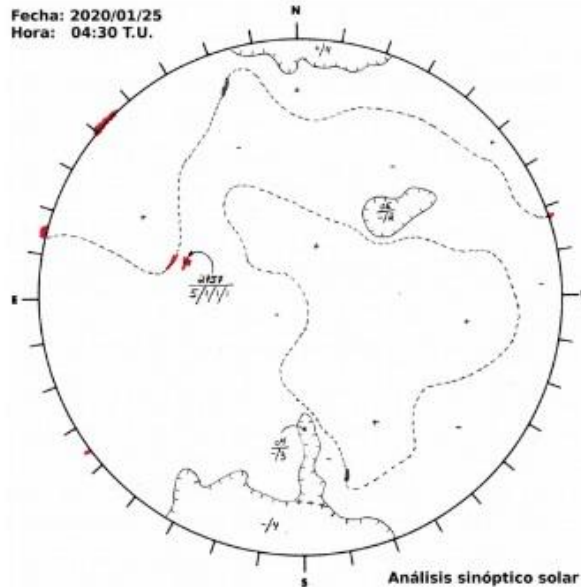


Imagen 1: ftp://ftp.swpc.noaa.gov/pub/synoptic_maps/

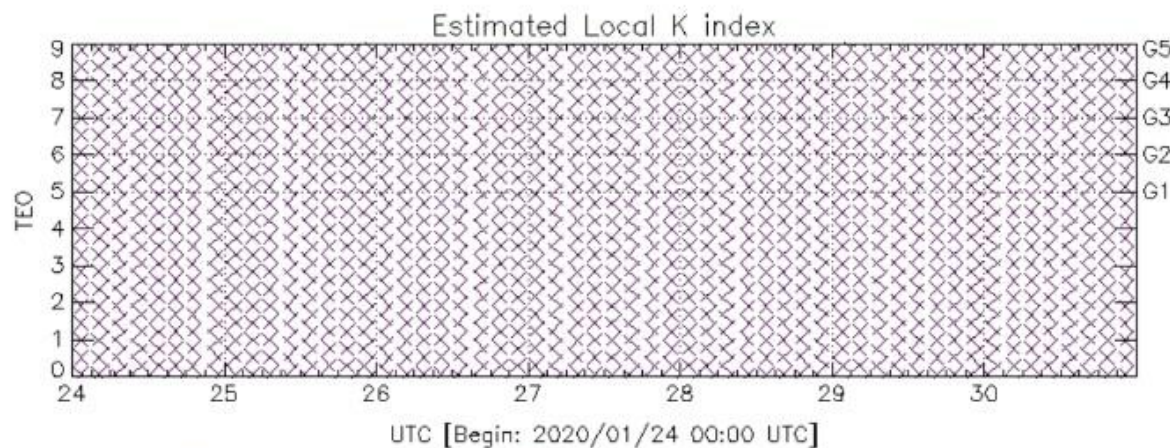
Imagen 2: <http://www.swpc.noaa.gov/products/real-time-solar-wind>

Perturbaciones geomagnéticas: Índices geomagnéticos Kp y Kmex

Imagen: <http://services.swpc.noaa.gov/images/planetary-k-index.gif>

En términos generales, fue una semana quieta. No se registraron alteraciones significativas en los índices K.

A lo largo de la semana se ha registrado un problema con la transmisión de datos del Observatorio de Teoloyucan, razón por la cual no ha sido posible calcular el índice regional.

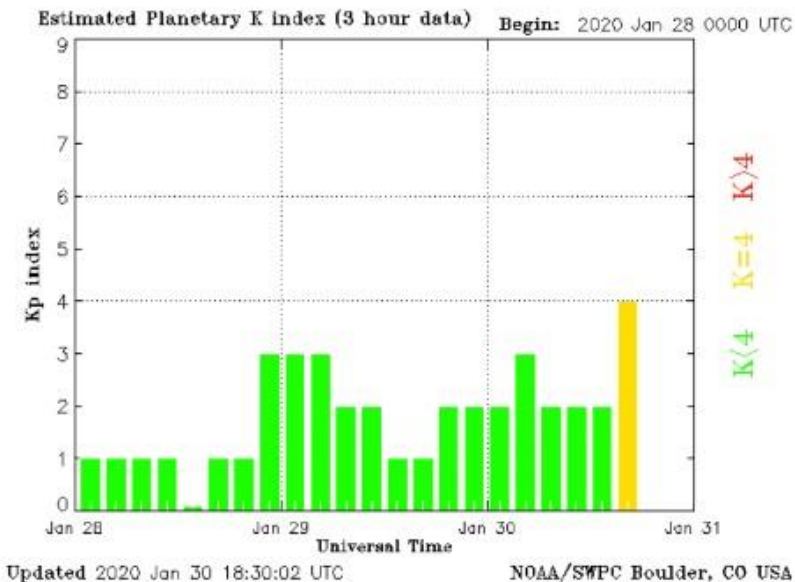


Color Code: ■ quiet, ■ disturbed, ■ storm, XXXX data not available.

TEO: Teoloyucan Geomagnetic Observatory (LAT 19.746, LON -99.193)

LANC/SCIESMEX - Morelia, Mich., MX

Updated: 2020/01/30-18:00 UTC



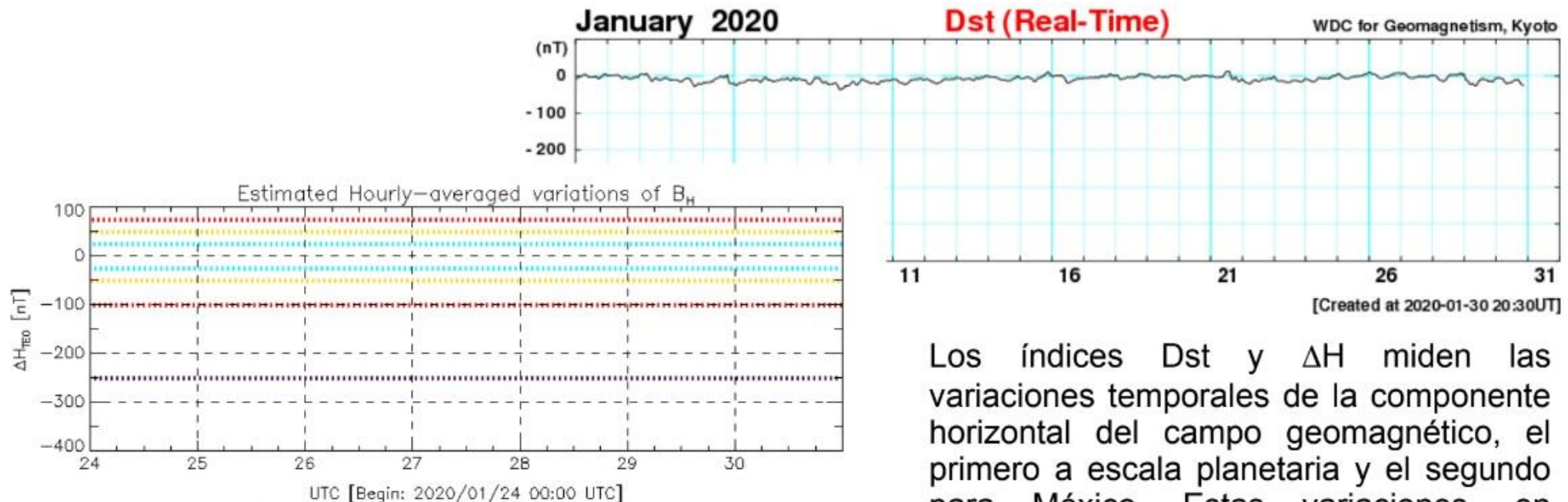
El índice K indica la intensidad de las variaciones del campo magnético terrestre en intervalos de 3 horas. El índice Kp lo expresa a escala planetaria, mientras que el Kmex lo hace para el territorio mexicano.

Perturbaciones geomagnéticas: Índice Dst y ΔH

En términos generales fue una semana quieta; no se registraron alteraciones significativas en los índices Dst y ΔH .

A lo largo de la semana se ha registrado un problema con la transmisión de datos del Observatorio de Teoloyucan, razón por la cual no ha sido posible calcular el índice regional.

Imagen: http://wdc.kugi.kyoto-u.ac.jp/dst_realtime/presentmonth/index.html



Color Code: weak, moderate, intense, extreme, data not available.

TED: Teoloyucan Geomagnetic Observatory (LAT 19.746, LON -99.193)

LANC/SCIESMEX - Morelia, Mich., MX

Updated: 2020/01/30-20:00 UTC

Los índices Dst y ΔH miden las variaciones temporales de la componente horizontal del campo geomagnético, el primero a escala planetaria y el segundo para México. Estas variaciones, en general, se deben al ingreso de partículas anómalas al ambiente espacial terrestre.

Ionósfera sobre México: TEC en el centro del país (datos locales)

El contenido total de electrones (TEC) es un parámetro que sirve para caracterizar el estado de la ionosfera de la Tierra.

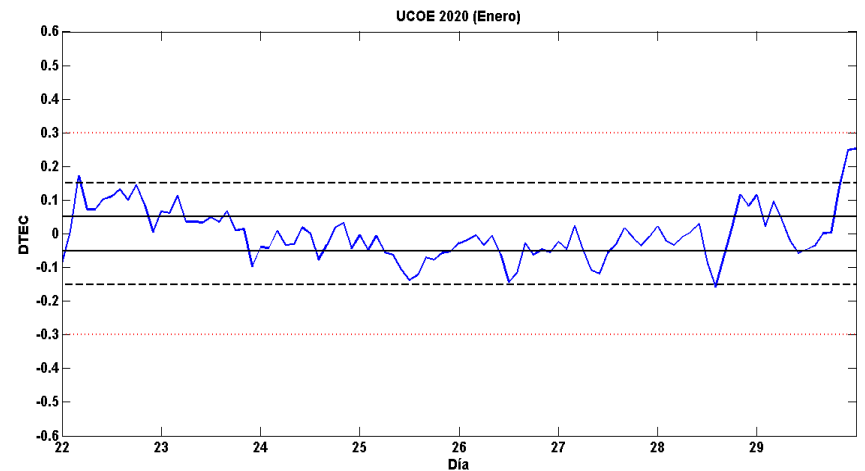
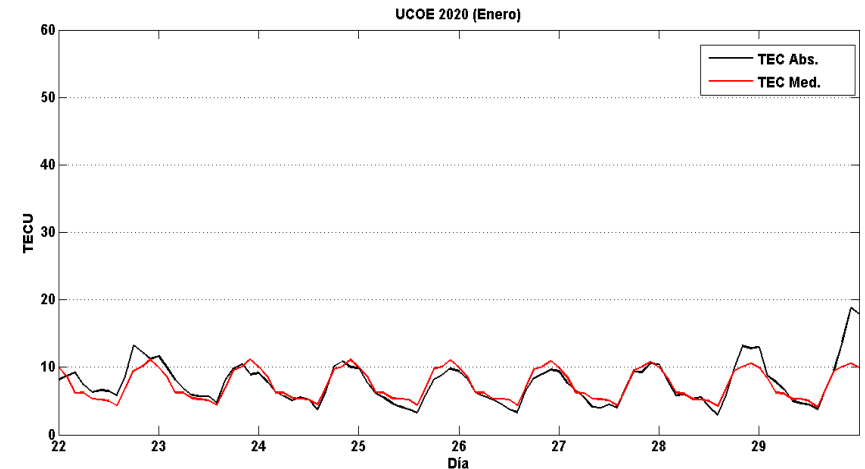
Serie temporal de los valores de TEC (negro) con referencia a su valor mediano (rojo) durante 22.01-29.01.2020 con base en los datos de la estación local UCOE (TLALOCNet, UNAVCO) en las instalaciones del Mexart.

Desviación de TEC de su mediana de los 27 días anteriores al día de observación con base en los datos de la misma estación.

Según los datos locales, no se observaron variaciones significativas de TEC esta semana.

El cálculo se realiza en base de TayAbsTEC software del Instituto de Física Solar-Terrestre, Sección Siberiana de la Academia de Ciencias de Rusia. Referencia: Yasyukevich et al., Influence of GPS/GLONASS Differential Code Biases on the Determination Accuracy of the Absolute Total Electron Content in the Ionosphere, Geomagn. and Aeron., ISSN 0016_7932, 2015.

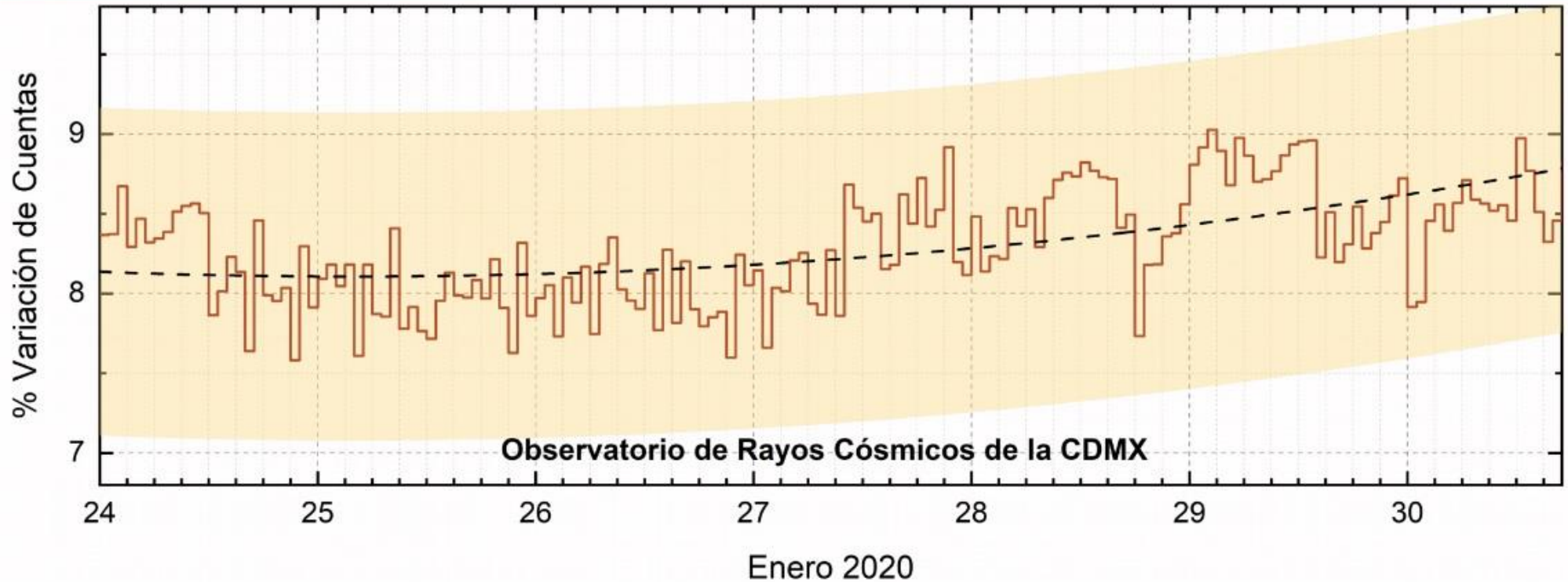
Referencia: Gulyaeva et al., GIM-TEC adaptive ionospheric weather assessment and forecast system. doi:10.1016/j.jastp.2013.06.011, 2013.



Rayos Cósmicos:

LANCE

Servicio Clima Espacial



<http://www.cosmicrays.unam.mx/>

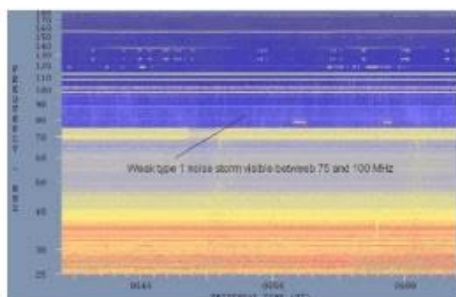
Datos registrados por el Observatorio de Rayos Cósmicos de la Ciudad de México. La curva discontinua negra representa el promedio de los datos registrados, el área coloreada en amarillo representa la significación de los datos ($\pm 3\sigma$). Cuando se registran variaciones que salen del área, es probable que éstas sean atribuidas a efectos de emisiones solares en el flujo de rayos cósmicos.

Del 24 al 30 de enero de 2020, no se detectaron incrementos significativos ($>3\sigma$) en las cuentas de rayos cósmicos.

Tipos de estallidos de radio solares

Tipo I: Estallidos cortos y banda de emisión estrecha. Ocurren en un gran número sobre un continuo de emisión. Duración de 1 s y en tormenta de horas a días.

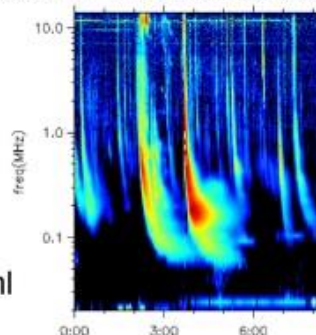
Se asocian con regiones activas, fulguraciones y protuberancias eruptivas



spaceacademy.net.au/env/sol/solradp/solradp.htm

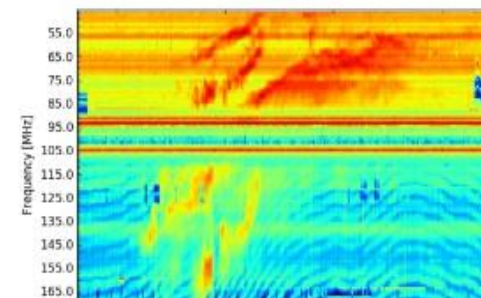
Tipo III: Estallidos de deriva rápida, con duración de pocos segundos en el rango métrico. Tienen anchos de emisión amplios. Son producidos en fulguraciones donde son expulsados a velocidades relativistas.

Se pueden presentar también como tormentas de estallidos.



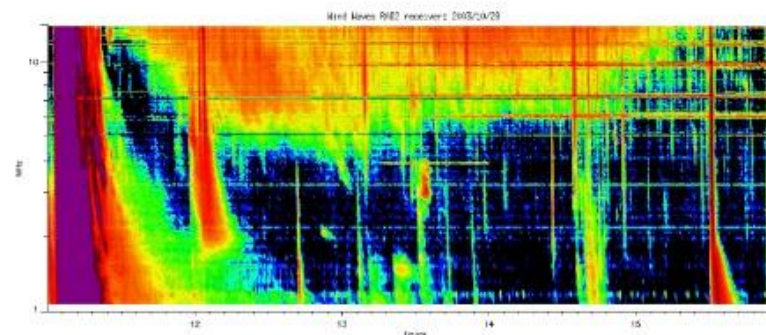
ssed.gsfc.nasa.gov/waves/data_products.html

Tipo II: Estallidos de deriva lenta. Son la firma de ondas de choque, producidas por fulguraciones o EMCs, que se propagan cerca del Sol y medio interplanetario. Presentan anchos de de emisión estrechos que derivan a frecuencias menores.



www.rice.unam.mx/callisto

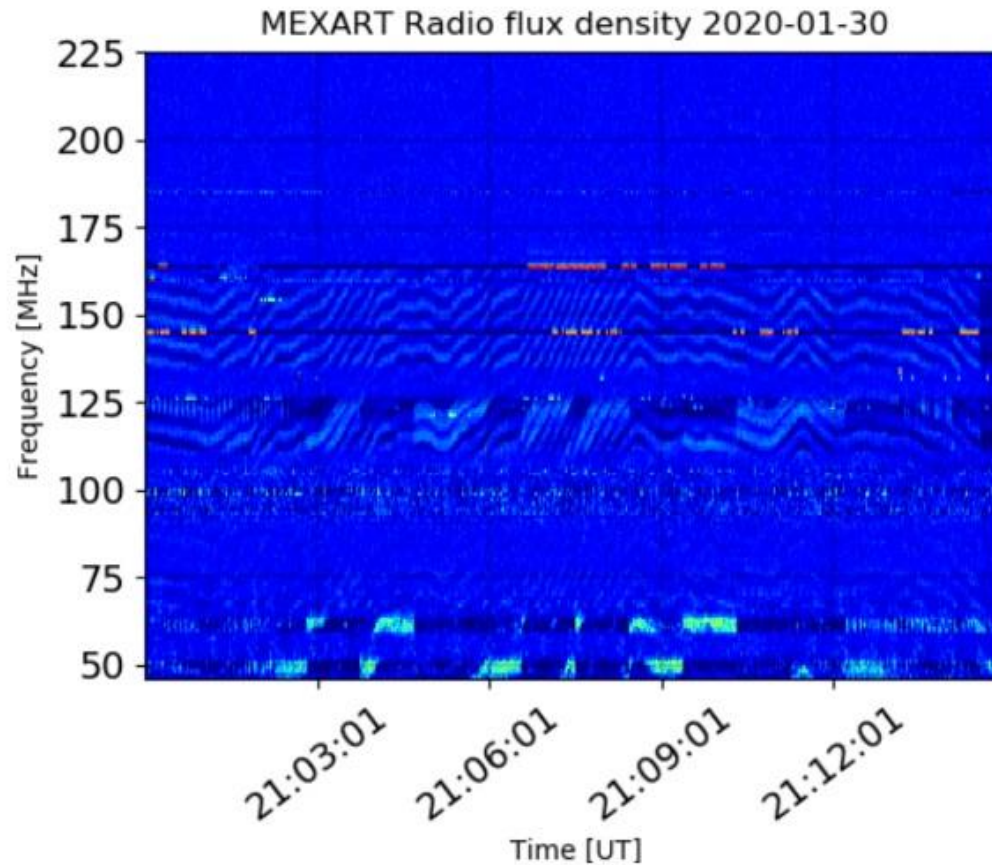
Tipo IV: Se relacionan con fulguraciones, tienen anchos de banda amplios y pueden durar horas.



https://ssed.gsfc.nasa.gov/waves/data_products.html

Estallidos de radio solares: Observaciones de Callisto-MEXART

Callisto-MEXART no detectó eventos esta semana.



<http://www.rice.unam.mx/callisto/lightcurve/2020/01/>

UNAM/LANCE/SCiESMEX

Dr. J. Américo González Esparza
Dr. Pedro Corona Romero
Dra. Maria Sergeeva
Dr. Julio C. Mejía Ambriz
Dr. Luis Xavier González Méndez
Dr. José Juan González Avilés
Ing. Ernesto Andrade Mascote
M.C. Pablo Villanueva Hernández
Ing. Adan Espinosa Jiménez
Ing. Juan Luis Godoy Hernández
Dr. Ernesto Aguilar-Rodríguez
Dra. Verónica Ontiveros
Dra. Tania Oyuki Chang Martínez
Ing. Juan José D'Aquino
M.C. Víctor José Gatica Acevedo

UNAM ENES-Morelia

Dr. Mario Rodríguez Martínez
Dr. Víctor De la Luz Rodríguez
Lic. Shaden Saray Hernández Anaya
M.C. Raúl Gutiérrez Zalapa
Rafael Zavala Molina

UNAM/PCT

Lic. Elizandro Huipe Domratheva
M.C. Víctor Hugo Méndez Bedolla
M.C. Elsa Sánchez García

UANL/LANCE

Dr. Eduardo Pérez Tijerina
Dr. Enrique Pérez León
Dr. Carlos de Meneses Junior
Dra. Esmeralda Romero Hernández

UNAM/IGF/RAYOS CÓSMICOS

Dr. José Francisco Valdés Galicia
Fis. Alejandro Hurtado Pizano
Ing. Octavio Musalem Clemente

SERVICIO MAGNÉTICO

M.C. Esteban Hernández Quintero
M.C. Gerardo Cifuentes Nava
Dra. Ana Caccavari Garza

CPCET/SAET-IPN

Ing. Julio Cesar Villagrán Orihuela
Ing. Reynaldo Vite Sánchez
Alain Mirón Velázquez
Angel Alfonso Valdovinos Cordoba
Mariana Yolanda Ortiz Hernández
Pablo Romero Minchaca
Valeria García Miguel

Elaboración: Equipo SCiESMEX

Revisión: Ernesto Aguilar Rodríguez

Agradecimientos

El Laboratorio Nacional de Clima Espacial (LANCE) es parcialmente financiado por: el programa Cátedras CONACYT Proyecto 1045 y el Fondo Sectorial AEM-CONACYT proyecto 2014-01-247722. Agradecemos al proyecto Conacyt - Repositorio Institucional de Clima Espacial 268273. Agradecemos a todos los responsables y colaboradores de instrumentos del LANCE y a las redes de estaciones GPS del Servicio Sismológico Nacional y TalocNET por facilitar sus datos. Agradecemos a Gerardo Cifuentes, Esteban Hernández y Ana Caccavari por los datos del Observatorio magnético de Teoloyucan. De igual forma, agradecemos los servicios de IGS (International GNSS Service) por permitirnos usar los datos IONEX disponibles en: <ftp://cddis.gsfc.nasa.gov/pub/gps/products/ionex>. Los valores de TEC fueron obtenidos a partir de observaciones de las redes GPS del Servicio Sismológico Nacional (SSN), SSN-TLALOCNet y TLALOCNet del Servicio de Geodesia Satelital (SGS). Agradecemos al personal del SSN y del SGS por el mantenimiento de estaciones, la adquisición de datos y el soporte de IT de estas redes. Las operaciones de la red TLALOCNet y SSN-TLALOCNet GPS han sido apoyadas por The National Science Foundation bajo el proyecto EAR-1338091 a UNAVCO Inc., los proyectos CONACyT 253760 y 256012 y los proyectos UNAM-PAPIIT IN109315-3 y IN104818-3 de E. Cabral-Cano y el proyecto UNAM-PAPIIT IN111509 de R. Pérez. De igual forma agradecemos a los proyectos de infraestructura del CONACyT: 253691 y del PAPIIT-DGAPA: IA107116 para el fortalecimiento de equipos como la estación fija de GPS, que forman parte del LACIGE-UNAM, de la ENES unidad Morelia a cargo de M. Rodríguez-Martínez. El cálculo de TEC se realiza: 1) utilizando el software US-TEC que es un producto de operación del Space Weather Prediction Center (SWPC), desarrollado a través de una colaboración entre National Geodetic Survey, National Oceanic and Atmospheric Administration (NOAA) y el Cooperative Institute for Research in Environmental Sciences of the University of Boulder, Colorado, 2) con base en el software TayAbsTEC del Instituto de Física Solar-Terrestre, Sección Siberiana de la Academia de Ciencias Rusa. Parte del procesamiento de datos se lleva a cabo dentro del Centro de Supercómputo de Clima Espacial (CESCOM) del LANCE. Así mismo agradecemos al Space Weather Forecasting Center for Astrophysics & Space Research de la University of California in San Diego y al Korean Space Weather Center por los datos de pronóstico para los modelos WSA-ENLIL y los mapas tomográficos por IPS. Agradecemos a la red e-callisto por los datos proporcionados de espectros electromagnéticos dinámicos de la red internacional de registro de evento de radio solares.

Datos

Imágenes de coronógrafo, flujo de rayos X y modelo WSA-ENLIL:

<http://www.swpc.noaa.gov/products>

<http://iswa.ccmc.gsfc.nasa.gov/IswaSystemWebApp/>

Imágenes de coronógrafo:

<http://sohowww.nascom.nasa.gov/data/>

Imágenes del disco solar y de la fulguración:

<http://www.solarmonitor.org/>

Detección y caracterización de EMCs:

<http://www.sidc.oma.be/cactus/out/latestCMEs.html>

<http://spaceweather.gmu.edu/seeds/>

ISES:

<http://www.spaceweather.org/>

International Network of Solar Radio Spectrometers (e-callisto):

<http://www.e-callisto.org/>

German Research Center For Geociencias Postdam:

<http://www.gfz-potsdam.de/en/sektion/erdmagnetfeld/daten-dienste/kp-index/>

Data Analysis Center for Geomagnetism and Space Magnetism,
Kyoto University:

<http://wdc.kugi.kyoto-u.ac.jp/index.html>

UNAVCO:

<http://www.unavco.org>

SSN:

<http://www.sismologico.unam.mx/>

SOHO Spacecraft NASA:

<http://sohowww.nascom.nasa.gov/>

SDO Spacecraft NASA:

<http://sdo.gsfc.nasa.gov/>

Space Weather Prediction Center NOAA:

<http://www.swpc.noaa.gov>

GOES Spacecraft NOAA:

<http://www.ngdc.noaa.gov/stp/satellite/goes/index.html>

ACE Spacecraft NOAA

<http://www.srl.caltech.edu/ACE/ASC/index.html>